

基于模式空间变换的圆阵无源测向算法研究

Algorithm Research on Circular Array's Passive Direction Finding Based on Pattern Space Transformation

胡秀娟 孙灿飞 刘佳伟 孙源 刘涛 赵英梅/中航工业上海航空测控技术研究所

摘 要:建立了均匀圆阵测向系统模型,在其基础上利用模式空间变换方法将均匀圆阵转化为虚拟均匀线阵,使得ESPRIT算法得以应用,从而实现二维无源测向。为验证算法的可行性及可靠性,搭建了七元均匀圆阵实测系统。实验结果表明,该算法所用时间较短,且测向结果较为稳定,可应用于均匀圆阵无源测向系统。

关键词:空间谱估计; DOA估计; 均匀圆阵; 无源测向; ESPRIT算法; 超分辨测向
Keywords: spatial spectrum estimation; DOA estimation; uniform circular array; passive direction finding;
ESPRIT algorithm; super-resolution direction finding

0 引言

目前,以测向为目的的工程应 用大多采用均匀线阵, 这是因为基 干空间谱估计算法的均匀线阵具有 Vandermonde矩阵形式, 便于数学处 理, 而且大多数算法只有在这种结构 下才能实现。但由于本文应用的特殊 性,采用了均匀圆阵。均匀圆阵可实现 方位角和俯仰角的测量, 并可保证方 位角信息的360°全方位性、无模糊性。 由于均匀圆阵的导向矢量矩阵不具有 Vandermonde矩阵形式,使得很多算法 不能直接用于均匀圆阵[1]。模式空间算 法是针对均匀圆阵提出的一种空间谱估 计算法,并获得了大量研究。如文献 [2]~[7]研究了基于均匀圆阵的ESPRIT 算法,即UCA-ESPRIT算法。该算法 与ESPRIT算法不同, 其建立在相位模 式激励的基础上,并依赖于Bessel函数 间的曲线关系。文献[8]在文献[2]的基 础上提出了UCA-RB-MUSIC算法, 克服了UCA-ESPRIT算法计算的复杂 性。文献[9]基于相位模式激励,研究 了UCA-ESPRIT算法和UCA-MUSIC算 法,分析结果表明UCA-MUSIC算法对非连续的信号源具有较高的估计精度。 文献[10]采用了ESPRIT算法,使用了一维搜索减少计算量。文献[11]寻找最优加权矩阵,并使用ESPRIT算法。文献[12]~[15]研究了基于模式空间变换的求根MUSIC算法。基于国内外学者对均匀圆阵测向的大量研究,本文利用模式空间变换将均匀圆阵转化成虚拟均匀线阵的方法,即采用基于模式空间变换的ESPRIT算法。

首先建立了均匀圆阵测向系统模型,并对测向原理进行了分析。在此基础上研究了无源测向算法的实现,最后对该算法进行了现场实验验证及分析。

1 均匀圆阵测向系统模型及分析

假设辐射性目标信源的个数为D; 天线阵元各向同性、阵元间无互耦; 各通道噪声为白噪声;信号与噪声相 互独立;信号是由点源发出的窄带平 面波;天线阵元数N大于信源个数D; 阵元间距小于信号的半波长。对于阵 元数为N的理想均匀圆阵测向系统,天 线阵元结构如图1所示。

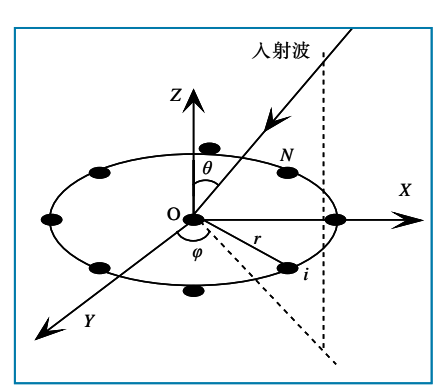


图1 均匀圆阵结构图

假设N个阵元均匀分布在半径为r的圆周上,笛卡尔坐标系的原点位于圆心。天线圆阵的第一号阵元在X轴正向,第i个阵元与X轴夹角为r。空中有D个不同方向的窄带平面波入射到圆阵上(其中D<N),入射俯仰角和方位角分别为 θ_k , φ_k (k=1,2,…D)。则第i个阵元接收到的信号与原点处信号复包络之间的相位差为:

$$\Psi_{ik} = e^{j\frac{2\pi r}{\lambda}\sin\theta_k\cos(\varphi_k - \gamma_i)} = e^{j\varsigma_k\cos(\varphi_k - \gamma_i)} \tag{1}$$

其中 $\varsigma_k = \frac{2\pi r}{\lambda} \sin \theta_k$ 。第i个阵元上的输出为:

$$x_{i}(t) = \sum_{k=1}^{D} b_{i}(\theta_{k}, \varphi_{k}) s_{k}(t) e^{j\varsigma_{k} \cos(\varphi_{k} - \gamma_{i})} + n_{i}(t) \quad (i = 1, 2, \dots N)$$
 (2)

其中 $b_i(\theta_k, \varphi_k)$ 是第i个阵元对第k个信号的增益, $s_k(t)$ 是第k个信号波形, $n_i(t)$ 是第i个阵元和通道的噪声,噪声间相互独立且与信号无关。阵元各向同性时 $b_i(\theta_k, \varphi_k)=1$,此时式(2)可写为:

$$x_{i}(t) = \sum_{k=1}^{D} s_{k}(t)e^{j\varsigma_{k}\cos(\varphi_{k}-\gamma_{i})} + n_{i}(t) = \sum_{k=1}^{D} a_{ik}s_{k}(t) + n_{i}(t)$$

$$(i=1,2,\ldots,N)$$
(3)

其中, $a_{ik}=e^{j\varsigma_{cos}(\varphi_{r},\gamma)}$ 表示输入信号相位的变化。输出是对输入产生 a_{ik} 相移后的信号,这些移相信息因俯仰角 θ_{k} 、方位角 φ_{k} 以及阵元位置 γ_{i} 的不同而不同,因此,各阵元输出信号的相位信息中包含目标俯仰角 θ_{k} 、方位角 φ_{k} 信息,测向的目的是从输出信号中分离出这些角度。

用矩阵矢量形式表示,式(3)变为

$$\begin{bmatrix} x_{1}(t) \\ x_{2}(t) \\ \dots \\ x_{N}(t) \end{bmatrix} = \begin{bmatrix} e^{j\varsigma_{1}\cos(\varphi_{1}-\gamma_{1})} & \dots & e^{j\varsigma_{D}\cos(\varphi_{D}-\gamma_{1})} \\ \dots & \dots & \dots \\ e^{j\varsigma_{1}\cos(\varphi_{1}-\gamma_{N})} & \dots & e^{j\varsigma_{D}\cos(\varphi_{D}-\gamma_{N})} \end{bmatrix} \begin{bmatrix} s_{1}(t) \\ s_{2}(t) \\ \dots \\ s_{D}(t) \end{bmatrix} + \begin{bmatrix} n_{1}(t) \\ n_{2}(t) \\ \dots \\ n_{N}(t) \end{bmatrix}$$
(4)

或简写为
$$X(t) = A(\theta, \varphi)S(t) + n(t) = AS(t) + n(t)$$
 (5) 其中

$$A = \begin{bmatrix} a_{11} & \dots & a_{1D} \\ \dots & \dots & \dots \\ a_{N1} & \dots & a_{ND} \end{bmatrix} \quad (a_{ik} = e^{j\zeta_k \cos(\varphi_k - \gamma_i)} \ k = 1, 2, \dots D; i = 1, 2, \dots N) \quad \circ$$

矩阵A中的列矢量又叫导向矢量,矩阵A还可以用导向矢量的方式表达:

$$\begin{cases} a(\vartheta) = a(\varsigma, \varphi) = [e^{j\varsigma\cos(\varphi - \gamma_1)} \quad e^{j\varsigma\cos(\varphi - \gamma_2)} \quad \cdots \quad e^{j\varsigma\cos(\varphi - \gamma_N)} \\ = [a_1(\varsigma, \varphi), a_2(\varsigma, \varphi), \dots, a_N(\varsigma, \varphi)]^T \\ A = [a(\varsigma_1, \varphi_1) \quad \dots \quad a(\varsigma_D, \varphi_D)] \end{cases}$$
(6)

其中, $a(\vartheta)$ 是入射波(ς, φ)在圆阵上的导向矢量。

式(5)为理想均匀圆阵标准数学模型,其中X(t)为阵列输出采样数据矢量;S(t)和n(t)分别为信号源数据矢量和阵列噪声矢量;A为 $N\times D$ 的阵列流形矩阵,又叫作DOA矩阵,A中含有目标信号的个数和目标信号的俯仰角 θ_k (有时也把 \mathcal{C}_k 叫做俯仰角)、方位角 φ_k 二维角度信息。利用输出采样数据矢量X(t)和阵列测向算法,估计出矩阵A中包含的目标方向角信息就是对目标的测向。

2 无源测向算法分析及实现

2.1 模式空间虚拟输出的推导

任何天线的激励信号都具有周期性,因此可用傅里叶级数表示为:

$$E(\) = \sum_{m=-\infty}^{+\infty} c_m e^{jm} = \sum_{m=-\infty}^{+\infty} E_m(\) \tag{7}$$

令 $w_m^H = \frac{1}{N} [e^{jm\gamma_1} e^{jm\gamma_2} \cdots e^{jm\gamma_N}]$, 具有N个天线阵元的均匀圆阵相当于N元离散圆阵。由Bessel函数的性质知道,当 $m > k_0 r$ 时, $J_m(\varsigma_k) \approx 0$ 。若记 $M = [k_0 r]$ (对 $k_0 r$ 向下取整),对于离散圆阵,当取阵元数N > 2M时,推导出远场方向图为:

$$F_m(\varsigma,\varphi) = w_m^H a(\varsigma,\varphi) \approx j^{|m|} J_{|m|}(\varsigma) e^{jm\varphi}$$
(8)

由式(8)可知,矩阵 w_m^H 把阵元空间的导向矢量 $a(\varsigma,\varphi)$ 变成了相位模式空间的相位模式 $F_m(\varsigma,\varphi)$ 。

令M'=2M+1,引入三个 $M'\times N$ 阶转换矩阵 F_e^H , F_r^H 和 F_u^H ,使得 $F_e^H=C_eV^H$, $F_r^H=W^HF_e^H$, $F_u^H=C_uV^H$ 成立。其中 $C_e=diag(j^{-M}\dots j^{-1},j^0,j^{-1}\dots j^{-M})$, $V^H=\sqrt{N}[w_{-M}\dots w_0\dots w_{M-1}]^H$, $W=\frac{1}{\sqrt{M'}}[v(\alpha_{-M})\dots v(\alpha_0)\dots v(\alpha_M)]$ 是 $M'\times M'$ 阶中心Hermitian矩阵,且 $v(\varphi)=[e^{-jM\varphi}\dots e^{-j\varphi}\ e^{j0}\ e^{j\varphi}\dots e^{jM\varphi}]$, $\alpha_i=\frac{2\pi}{\sqrt{M'}}i$, $C_u=diag(j^M\dots j^1,j^0,j^{-1}\dots j^{-M})$ 。则得到

三个 $(2M+1)\times 1$ 阶矢量 $a_e(\theta) = F_e^H a(\theta)$, $a_r(\theta) = F_r^H a(\theta)$, $a_u(\theta) = F_u^H a(\theta)$ 。其中 $a_e(\theta) \times a_r(\theta)$ 和 $a_u(\theta)$ 是模式空间矢量,矩阵 $F_e^H \times F_r^H$ 和 F_u^H 是把阵元空间导向矢量 $a(\theta)$ 转换为模式空间矢量的转换矩阵。阵元空间的阵列输出X(t)对应模式空间虚拟输出X'为:

$$X' = F_{r}^{H} X = F_{r}^{H} (AS + n) = A_{r}S + F_{r}^{H} n$$
(9)

其中 A_r 是以 $a_r(\vartheta_t)(k=1,2,\cdots D)$ 为列构成的实值矩阵。

2.2 模式空间二维ESPRIT算法分析

在模式空间中,虚拟输出X'的协方差矩阵为:

$$R_{X'}=E[X'X'^H]=A_rE[SS^H]A_r^H+F_r^H\sigma^2F_r=A_rR_sA_r^H+\sigma^2I$$
 (10) 假设 $R=Re(R_r)$ 代表 X' 的协方差矩阵的实部,则有:

$$R = Re(R_r) = A_r R_{SR} A_r^H + \sigma^2 I \tag{11}$$

其中 R_{SR} = $Re(R_S)$,为信号协方差矩阵 R_S 的实部。

式(11)表明,对协方差矩阵 R_x 的实部进行特征分解,就可以得到模式空间中的信号子空间和噪声子空间。若用 S_x 代表信号子空间,那么模式空间的信号子空间 S_x 位于矩阵 A_x 的D个列矢量构成的空间 $R\{A_x\}$ 中,即 $R\{S_x\}$ = $R\{A_x\}$ 。或者表示为:

$$S_r = A_r T \tag{12}$$

令 $C_0 = C_u C_e^H = diag((-1)^M ... (-1)^1, 1, 1, \dots 1)$,则 $F_u^H = C_0 W F_r^H$ 从而得到 F_u^H 和 F_r^H 对应信号子空间的关系:

$$S_u = C_0 W S_r = C_0 W A_r T = A_u T$$
由式(13)可知:

$$a_{u}(\vartheta) = C_{u}V^{H}a(\vartheta) = \sqrt{N} \left[J_{-M}(\zeta)e^{-jM\varphi} \dots J_{M}(\zeta)e^{jM\varphi} \right]^{T} (14)$$



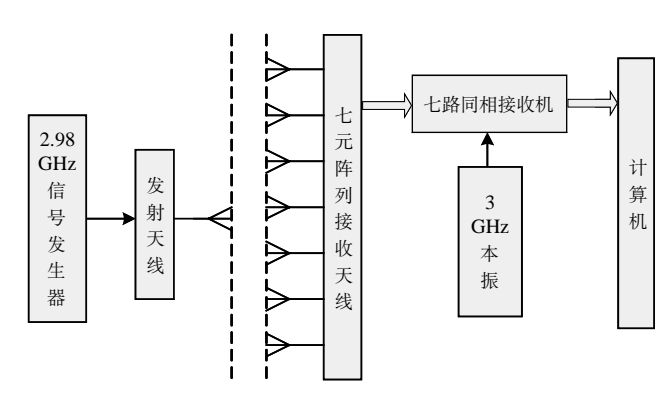


图2 测向实验系统原理图

以 $a_{\mu}(\vartheta_{\nu})(k=1,\cdots,D)$ 为列构造 $M'\times D$ 阶矩阵 A_{μ} , 再利用 Bessel函数的性质可得:

$$\Gamma A_{u}^{0} = A_{u}^{-1} \Phi + A_{u}^{1} \Phi^{*}$$
 (15)

其中, $\Phi = diag[\sin\theta_1 e^{j\phi_1}, \sin\theta_2 e^{j\phi_2}, \dots, \sin\theta_D e^{j\phi_D}]$,

$$\Gamma = \frac{\lambda}{\pi r} diag[-(M-1), -(M-2), \dots, 0, \dots, M-2, M-1]$$

 A_u^0, A_u^1, A_u^{-1} 分别是从矩阵 $A_u(\vartheta)$ 中第一、第二和第三行开始 抽取的 $(2M-1) \times D$ 阶子阵。

由式(13)和式(15)可得:

$$\Gamma S_u^0 = S_u^{-1} T^{-1} \Phi T + S_u^{-1} T^{-1} \Phi^* T \tag{16}$$

$$\Gamma S_{u}^{0} = E \Psi \tag{17}$$

其中, $E = [S_u^{-1}: S_u^{-1}], \Psi = \begin{bmatrix} T^{-1}\Phi T \\ T^{-1}\Phi^* T \end{bmatrix}; S_u^{-1}, S_u^{-0}, S_u^{-1}$ 分别是从 S_u 中第一,第二和第三行开始抽取的 $(2M-1) \times D$ 阶子阵。

式(17)还可以表示为:

$$\Gamma \Delta^0 C_0 W S_{-} = E \Psi \tag{18}$$

其中, $E = [\Delta^{-1}C_0WS_r: \Delta^{1}C_0WS_r]$, $\Delta^{i}C_0WS_r = \Delta^{i}S_u = S_u^{i}$, i = -1,0,1.

根据上述推导过程可知,要实现测向,首先要求出阵元空 间与模式空间的转换矩阵 F_{\star}^{H} 和 F_{\star}^{H} ,进而得到相位模式空间输 出的协方差阵 R_x , 然后再取 R_x 的实部: $R=Re(R_x)$, 对R进行特 征分解得到信号子空间 S_r ,由式(18)求出矩阵 Ψ ,从 Ψ 的上半部 分或下半部分都可以求出 Φ 矩阵中包含的目标方向角 $(\theta_{\iota}, \varphi_{\iota})$ 。

3 仿真结果及实测数据误差分析

当用信号发生器发射2.98GHz的高频信号模拟S波段雷 达目标信号时, 七阵元均匀圆阵测向系统原理如图2所示, 阵元的方向图如图3所示。

当均匀圆阵有N个阵元、对空中D个信源测向、M'=2M+1个相位模式、取K次采样数据时,用模式空间ESPRIT法测

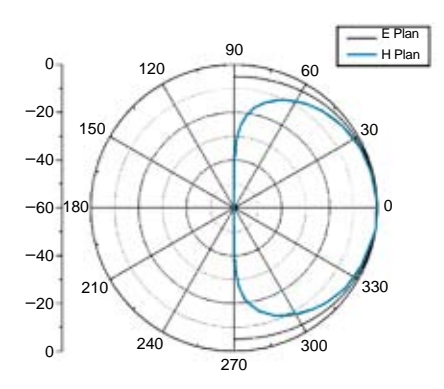


图3 天线阵元方向图

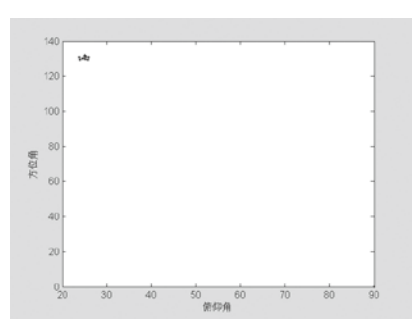


图4 模式空间ESPRIT法对单一目标测 向结果

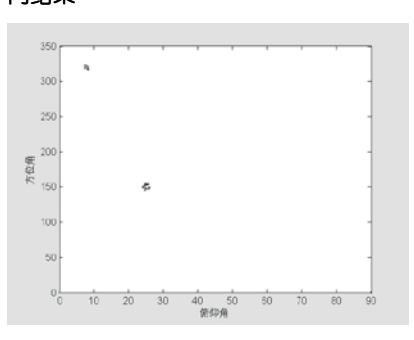


图5 模式空间ESPRIT法对两个目标测向

向,需要进行的 乘法和加法次数 大约为N²(2M'+K- $1)+M'^{2}(N+2)+(M'-$ 2)²(2M'-D)次。假设 用TMS320C6×××系 列DSP芯片实现测向 运算(2400MIPS),测 向时间为毫秒量级, 表明ESPRIT测向法 测向所需时间较短。

当均匀圆阵阵 元个数N=7、信噪 比SNR=5dB、采样 点K=200、信号频 率 f = 5GHz时,用 模式空间ESPRIT 方法对单一目标信 号和两个目标信号 分别测向,单一信 号位于(25°,130°); 两个信号分别位 于(25°,150°), (8°,320°)时, 重复 10次测向,结果分 别如图4、图5和表 1、表2所示。

从图中和测向 数据表中看出,无论是对单目标,还是对双目标测向,测 出的目标方位角和俯仰角都在角度真值附近, 这说明模式 空间ESPRIT算法适用于该测向系统。实验过程中,当信号 频率大于3GHz时,采样点在100~200,信噪比大于1dB,都 可得到稳定的测向结果。当信号频率小于3GHz时,采样点 大于500时可得到稳定的测向结果。

4 结论

本文通过对圆阵测向的建模分析和ESPRIT算法的推 导,利用模式空间变换方法将均匀圆阵转化成虚拟均匀线 阵, 使ESPRIT算法得以应用。通过建立无源测向实验系 统,检验算法的可行性和可靠性,测向系统中发射信号为



表1 用模式空间ESPRIT法对单目标的10次测向数据

| 真值 | 估计值 | | | | | | | | | |
|--------|---------|---------|--------|---------|---------|---------|---------|---------|---------|---------|
| 俯仰25° | 25.010 | 25.080 | 24.605 | 24.968 | 24.589 | 24.898 | 24.774 | 24.908 | 25.067 | 24.950 |
| 方位130° | 129.732 | 130.182 | 129.01 | 129.950 | 128.971 | 129.732 | 130.280 | 130.325 | 130.548 | 129.629 |

表2 用模式空间ESPRIT法对两个目标的10次测向数据

| 真值 | 估计值 | | | | | | | | | |
|--------|---------|---------|---------|---------|---------|---------|---------|---------|---------|---------|
| 俯仰25° | 25.105 | 25.107 | 24.919 | 25.138 | 25.184 | 25.236 | 25.158 | 24.953 | 25.199 | 25.034 |
| 方位150° | 149.451 | 146.018 | 152.172 | 151.124 | 148.965 | 152.374 | 153.863 | 151.834 | 152.76 | 153.482 |
| 俯仰8° | 8.084 | 8.384 | 7.876 | 7.965 | 8.191 | 7.893 | 8.063 | 7.924 | 8.137 | 7.872 |
| 方位320° | 319.541 | 320.369 | 320.154 | 321.034 | 320.937 | 318.923 | 322.581 | 319.734 | 320.591 | 323.624 |

2.98GHz,作为无源测向的源信号,并用七元阵列天线进行接收,然后利用基于模式空间变换的ESPRIT算法对其进行处理。实验得出,当信号频率大于3GHz时,采样点在100~200,信噪比大于1dB,可得到稳定的测向结果。当信号频率小于3GHz时,采样点大于500时可得到稳定的测向结果。该结果表明,基于模式空间变换的ESPRIT算法测向时间较短,估计值接近真值,测向结果较为稳定。

参考文献

- [1] 王永良. 空间谱估计理论与算法[M]. 北京:清华大学出版社. 2009-5.
- [2] Zoltoski M D, Mathews C P. Closed-form 2D angle estimation with uniform circular array via phase mode excitation and ESPRIT[C]//1993 conference record of the twenty-seventh asilomar conference on signals, systems and computers. Pacific Grove, CA, USA: 1993–12:169–173.
- [3] Kareem A, Jabr A L. Modified UCA-ESPRIT and modified UCA-ROOT-MUSIC for estimating DOA of coherent signals using one snapshot[D]. Abudhabi: Ajman University of Science and Technology, 2005.
- [4] 甄佳奇. 基于虚拟阵列的相干信号快速测向算法[J]. 吉林大学学报

(工学版), 2010(3):48-851.

- [5] Yang Liming, Zhang Hong, Yang Xiaorong. DOA estimation for wideband sources based on UCA[J]. Journal of Electronics, 2006, 23(1):128–131.
- [6] Mathews C P, Zoltowski M D. Performance analysis of the UCA—ESPRIT algorithm for circular ring arrays[J]. IEEE Transactions on Signal Processing, 1994,42(9): 2535–2539.
- [7] Mathews C P. Enhancing UCA—ESPRIT for non—circular sources[J]. Signal Processing and Its Applications, 2007.
- [8] Mathews C P, Zoltowski M D. Eigenstructure techniques for 2–D angle estimation with uniform circular arrays[J]. IEEE Trans. on signal processing, 1994, 42(9): 2395–2407.
- [9] Lian Xiaohua, Zhou Jianjiang. 2-D DOA estimation for uniform circular arrays with PM[C]// Antennas, Propagation & EM Theory, 2006.
- [10] Chang Ann-Chen, Jen Chih-Wei. Subspace-based techniques for 2-D DOA estimation with uniform circular zrray under local scattering[J]. Journal of the Chinese Institute of Engineers, 2006, 29(4): 663-673.
- [11] Cheng Qi, Yang Runyu, Zhang Huimin. Optimally weighted ESPRIT using Uniform Circular Arrays[J].

Computers & Electrical Engineering, 2005, 31(4-5).

- [12] Mathews C P, Zoltowski M D. Direction finding with circular arrays via phase mode excitation and Root—MUSIC[C]//1992 Antennas and Propagation Society International Symposium. Chicago IL, USA: 1992—7: 1019—1022.
- [13] Zoltowski M D, Mathews C P. Direction finding with circular arrays via phase mode excitation and beamspace Root—MUSIC[C]// 1992 Antennas and Propagation Society International Symposium. Chicago IL, USA: 1992—7: 245—248.
- [14] Goossens R, Rogier H, Werbrouck S. UCA Root–MUSIC with sparse uniform circular arrays[J]. IEEE Transactions on Signal Processing. 2008, 56(8):4095–4099.
- [15] Pan Jie, Zhou Jianjing. Beamspace PM—Root—MUSIC for uniform circular array based on MST[C]// International Joint conference on computational sciences and optimization. 2009—1: 899—901.

作者简介

胡秀娟,博士,主要从事雷达信 号处理研究。

孙灿飞,高级工程师,主要从事 测试技术、故障预测与分析研究。